

Metody kompresji i przechowywania obrazów

Obrazy – ogromnymi zbiorami danych:

Np. Fotografia 24mm x 36 mm

→ 10⁷ punktów; rozdzielczość 0.01 mm

→ 256 poziomów; >10 MB

Na komputerze

→ 640 x 480 pikseli 900 kB

→ 1280x1024 pikseli 3.84 MB

Transmisja dla 9600 bps → > 20 minut

Dla obrazów animowanych → około 30obrazów/sek

Sposoby zmniejszania wielkości plików graficznych:

- ❑ **Zmniejszanie rozdzielczości**
- ❑ **Redukcja liczby kolorów**
- ❑ **Kompresja plików**
 - **usuwanie redundantnej informacji z obrazu....**
 - **niemożliwa przy braku zależności między pikselami !**

Uwagi:

- Techniki kompresji obrazów częściowo wykorzystują metody kodowania i kompresji danych nieobrazowych, typu ciągów symboli

- Efektywność metod kompresji zależy od rodzaju obrazu (*zawsze większa dla obrazów z regularnymi kształtami, jednolitymi powierzchniami, niż dla tych z nieregularnymi, zróżnicowanymi,...*)

Problem zasadniczy:

**JAKA JEST MINIMALNA
ILOŚĆ DANYCH NIEZBĘDNA
DO ODTWORZENIA OBRAZU?**

Ilościowe określenie efektywności kompresji:

- **Współczynnik kompresji:**

$$C_R = N1/N2,$$

gdzie N1 liczba bitów dla oryginalnego obrazu
N2 - dla skompresowanego

- **Względna redundancja danych:**

$$R_D = (N1-N2)/N1 = 1 - 1/C_R$$

Dla obrazów istotne trzy podstawowe typy redundancji:

❖ REDUNDANCJA KODU

usuwanie → zmienna długość kodu

❖ REDUNDANCJA INTER-PIKSELOWA

usuwanie → odpowiednie transformacje

❖ REDUNDANCJA PSYCHOWIZUALNA

usuwanie → mapowanie ograniczające
np. ilość kolorów

Ilustracja redundancji kodu dla obrazów :

Niech zmienna losowa r_k , w przedziale $[0,1]$, reprezentuje poziomy kwantyzacji na obrazie i niech r_k wstępuje z p -stwem $p_r(r_k)$

Z definicji histogramu dla obrazu:

$$p_r(r_k) = n_k / n \quad k = 1, 2, \dots, L-1,$$

L jest ilością poziomów kwantyzacji
 n_k oznacza liczbę poziomów k na obrazie
 n jest ilością wszystkich pikseli na obrazie

Ilustracja redundancji kodu dla obrazów :

Jeśli liczba bitów, reprezentująca wartość r_k , wynosi $l(r_k)$ to średnia ilość bitów, reprezentująca każdy piksel wynosi:

$$L_{\text{śr}} = \sum_{k=0}^{L-1} l(r_k) p_r(r_k)$$

Całkowita liczba bitów do zakodowania obrazu $M \times N$ wynosi więc: $MNL_{\text{śr}}$

Ilustracja redundancji kodu dla obrazów :

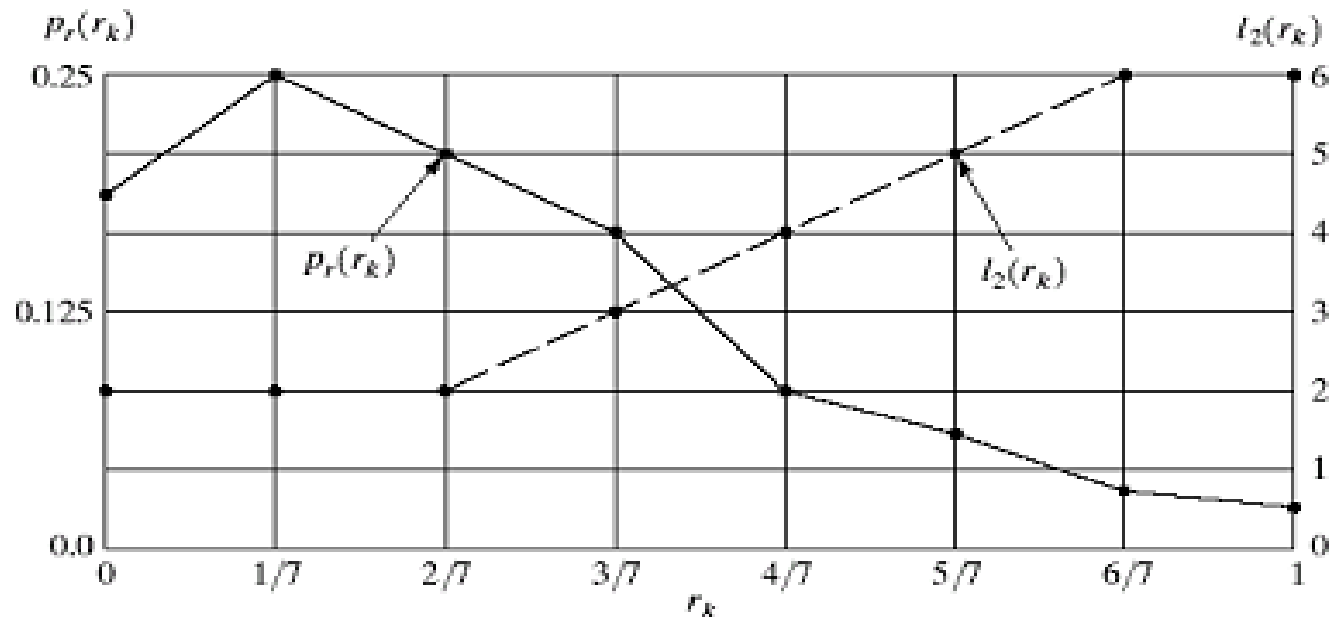
Przykład dwóch różnych kodów **Code 1** ($L_s r = 3$) oraz **Code 2** ($L_s r = 2,7$) dla obrazu o 8 poziomach szarości

r_k	$p_r(r_k)$	Code 1	$l_1(r_k)$	Code 2	$l_2(r_k)$
$r_0 = 0$	0.19	000	3	11	2
$r_1 = 1/7$	0.25	001	3	01	2
$r_2 = 2/7$	0.21	010	3	10	2
$r_3 = 3/7$	0.16	011	3	001	3
$r_4 = 4/7$	0.08	100	3	0001	4
$r_5 = 5/7$	0.06	101	3	00001	5
$r_6 = 6/7$	0.03	110	3	000001	6
$r_7 = 1$	0.02	111	3	000000	6

Tu:
 $R_D = 0,099$

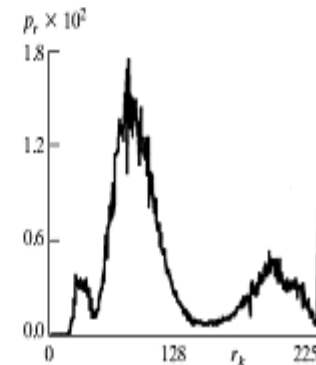
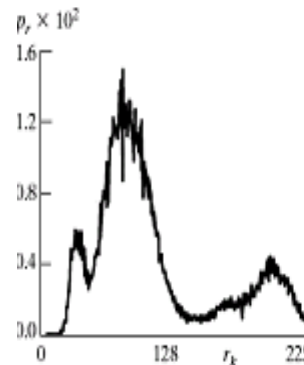
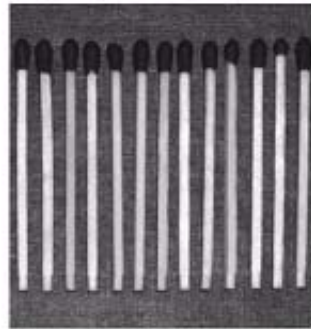
Ilustracja redundancji kodu dla obrazów :

Graficzna analiza kompresji
- ilustracja $p_r(r_k)$ oraz $l_2(r_k)$ versus r_k



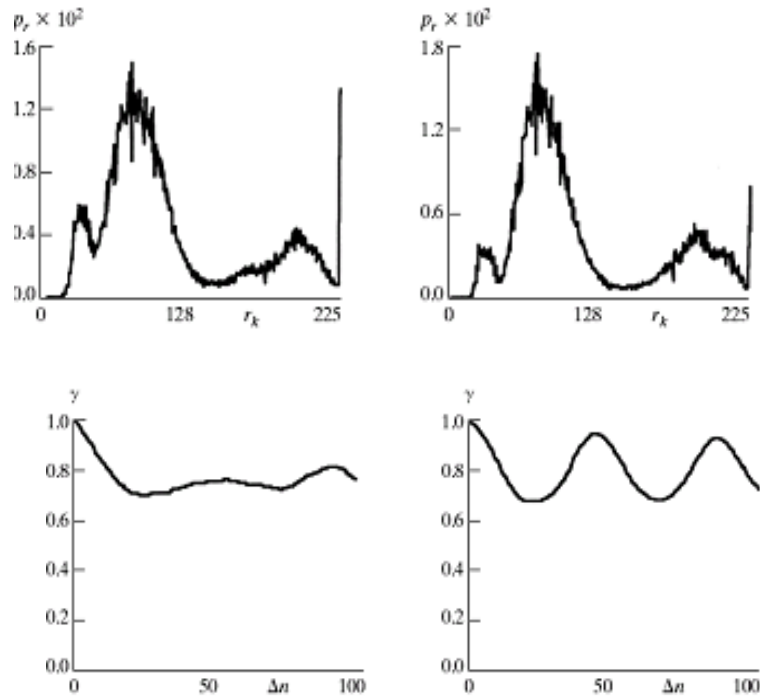
Ilustracja redundancji inter-pikselowej dla obrazów:

Przykład dwóch różnych obrazów o identycznych histogramach



Ilustracja redundancji inter-pikselowej dla obrazów :

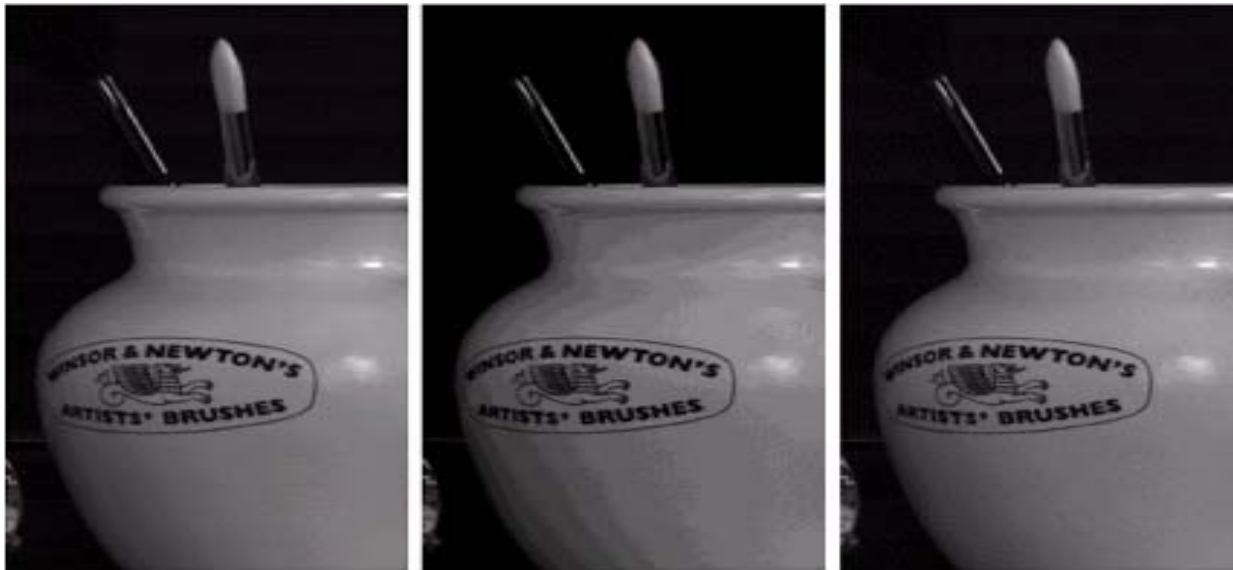
Histogramy oraz współczynniki znormalizowanych autokorelacji dla przykładowych obrazów wzdłuż wybranej linii



Tu:
Informacje o wartości
danego piksela można
przewidywać na podstawie
analizy sąsiednich....

Ilustracja redundancji psychowizualnej dla obrazów :

Przykładowe obrazy (a) 256 poziomów szarości, (b) 16 poziomów, (c) 16 poziomów + procedura wygładzania

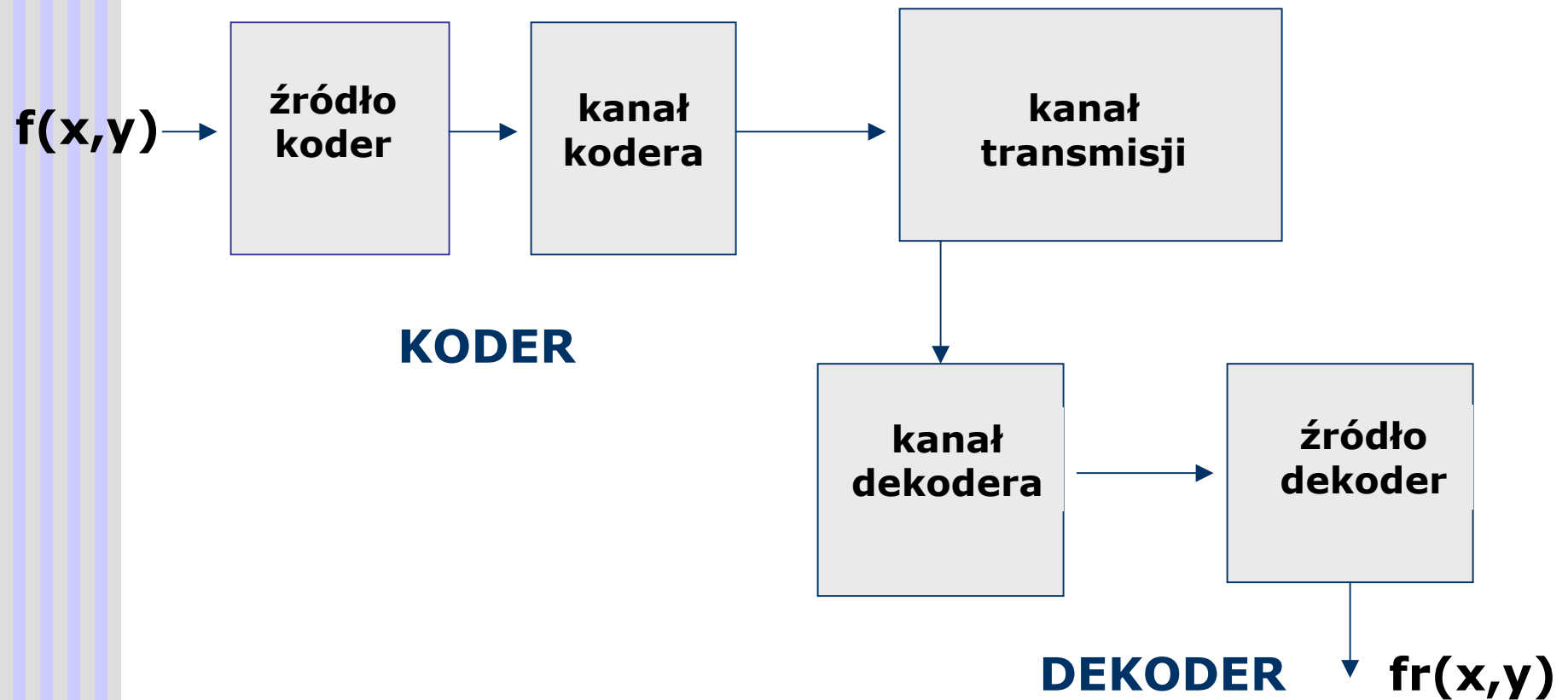


(a)

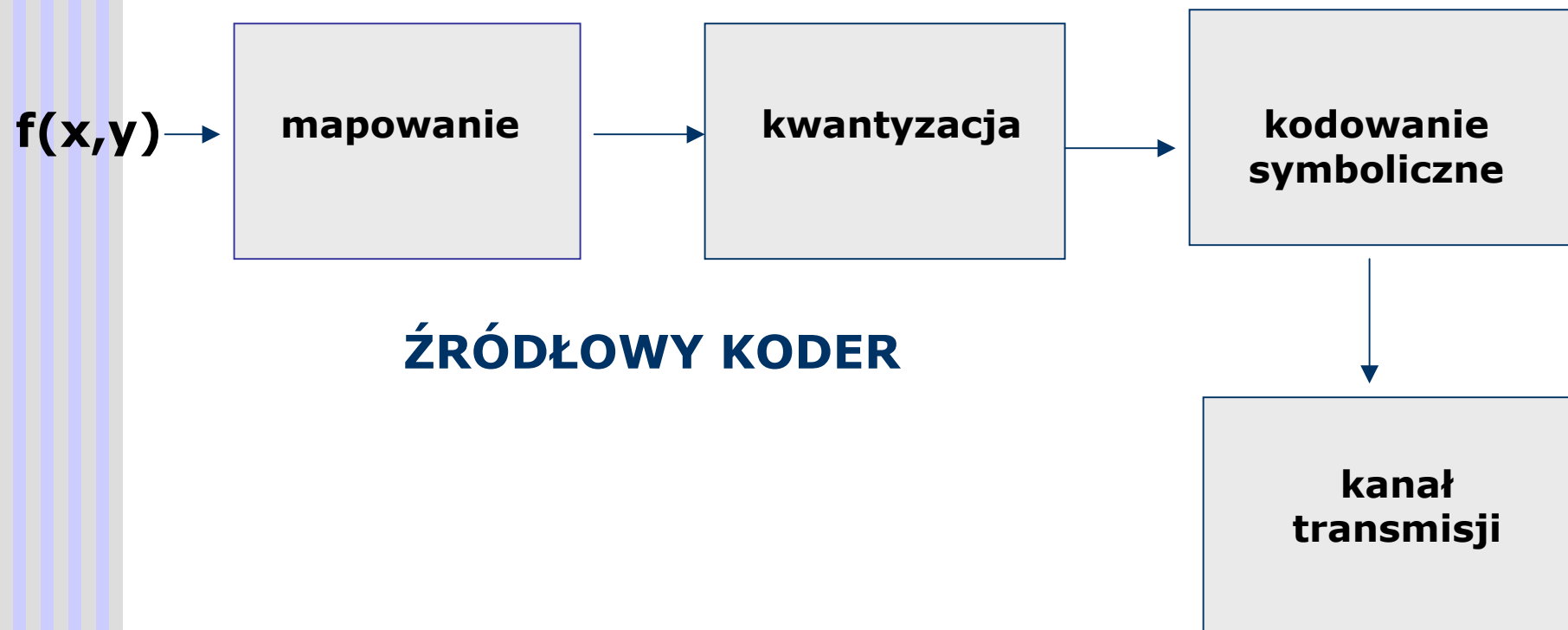
(b)

(c)

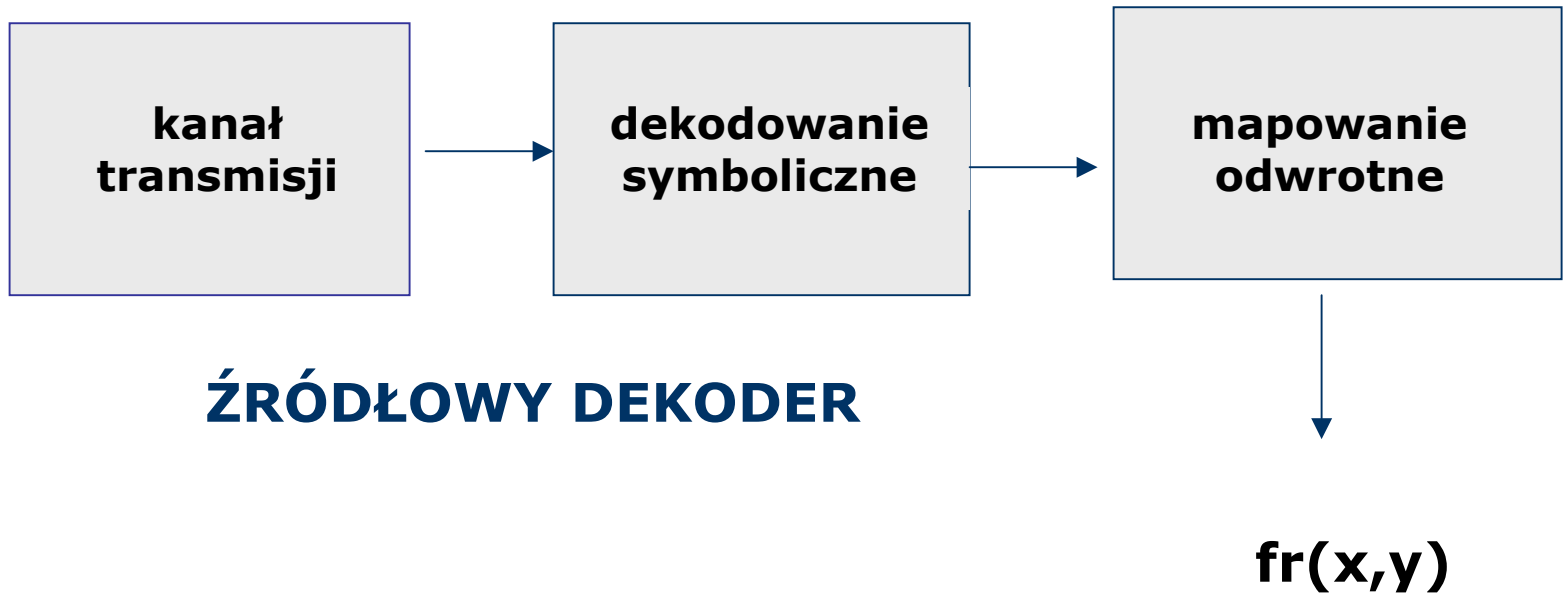
Ogólny model kompresji:



Model kodera:



Model dekodera:



Metody kompresji:

I. BEZ STRAT INFORMACJI (*lossless*)

- **bezstratne**

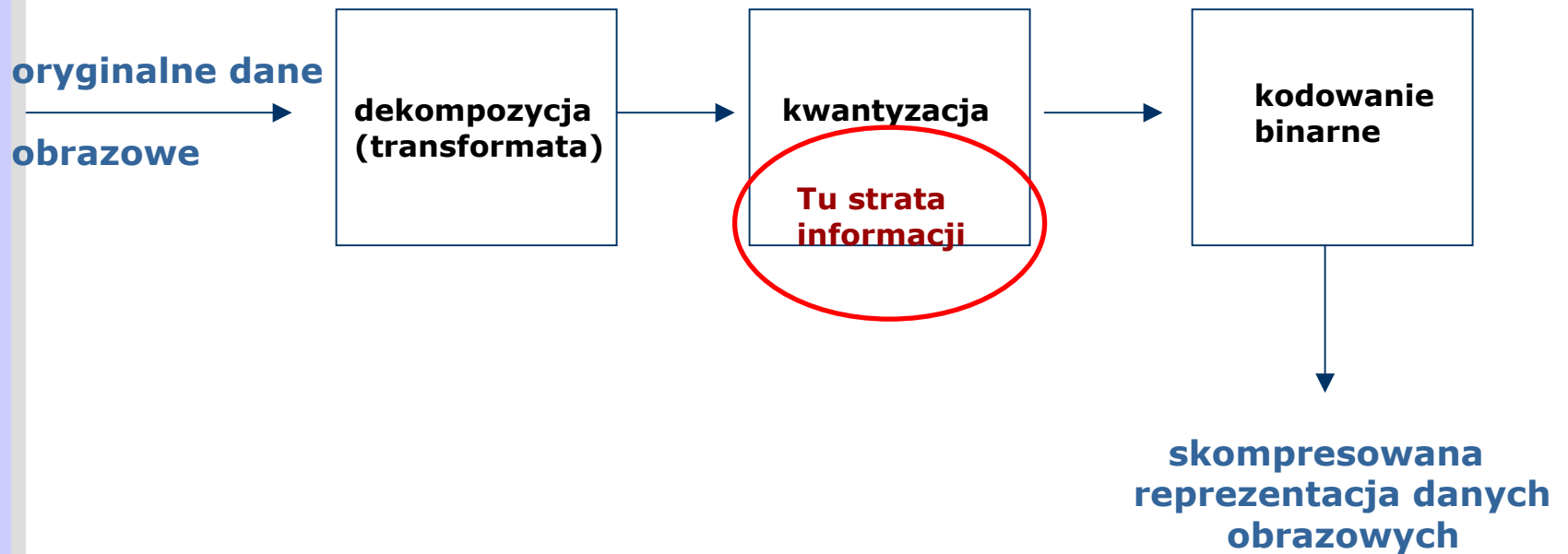
II. ZE STRATAMI INFORMACJI (*lossy*)

- **stratne, modyfikujące**

Schemat bezstratnych kompresji:



Schemat stratnych kompresji:



Ad. I. Metody bezstratne:

I.1 KODOWANIE CIĄGÓW SYMBOLI
run-length-encoding, konturowe

I.2 METODY STATYSTYCZNE
kodowanie Huffmana

I.3 METODY SŁOWNIKOWE
LZ , LZW

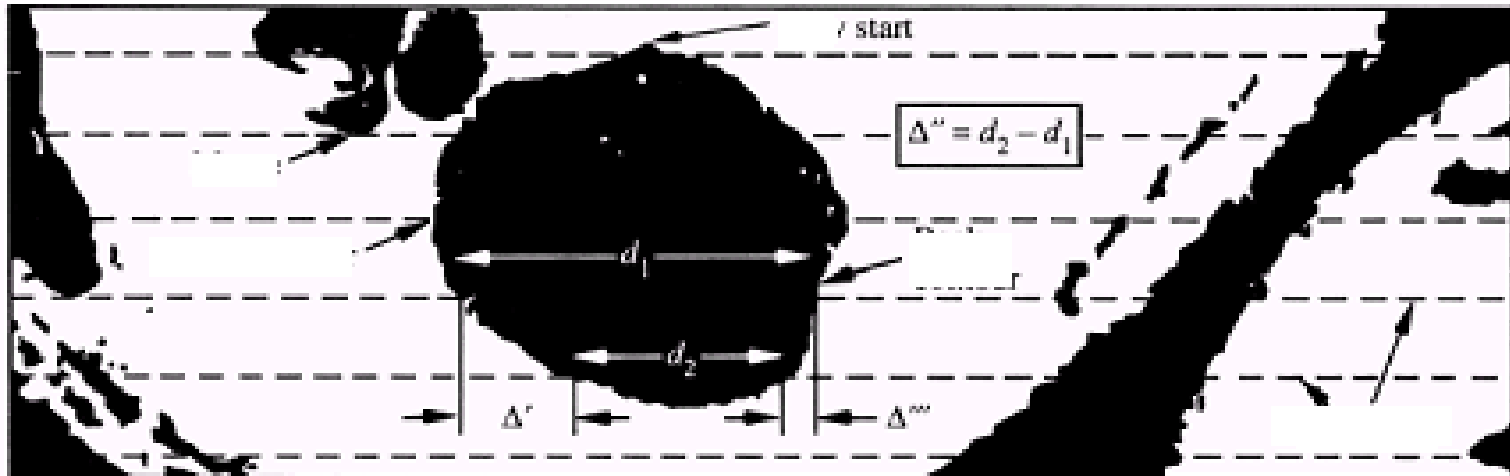
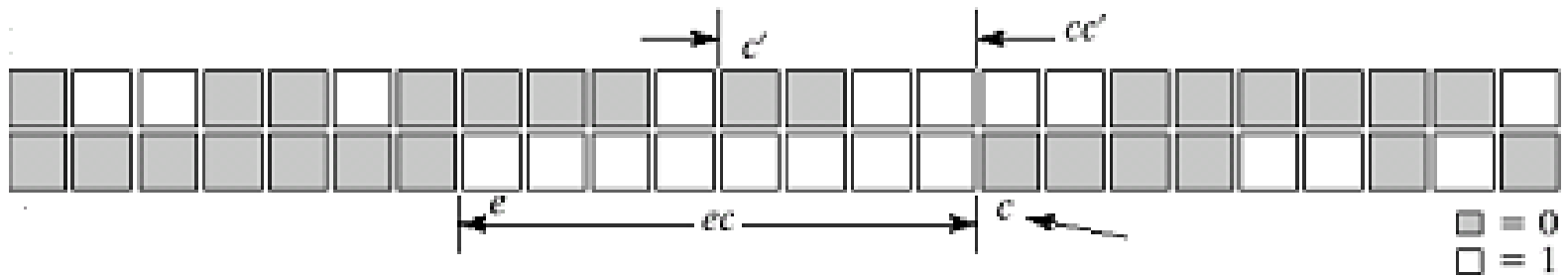
Ad. II. Metody stratne:

II.1 ZMIANA MODELU KOLORÓW

II.2 METODY FRAKTALNE

II.3 METODY TRANSFORMACYJNE

Ad I.1 Kodowanie ciągów i konturów:



Ad I.2. Kodowanie Huffmana

- pierwsza optymalna, statystyczna metoda kompresji danych, zapewniająca redukcję średniej długości kodu dla liter alfabetu

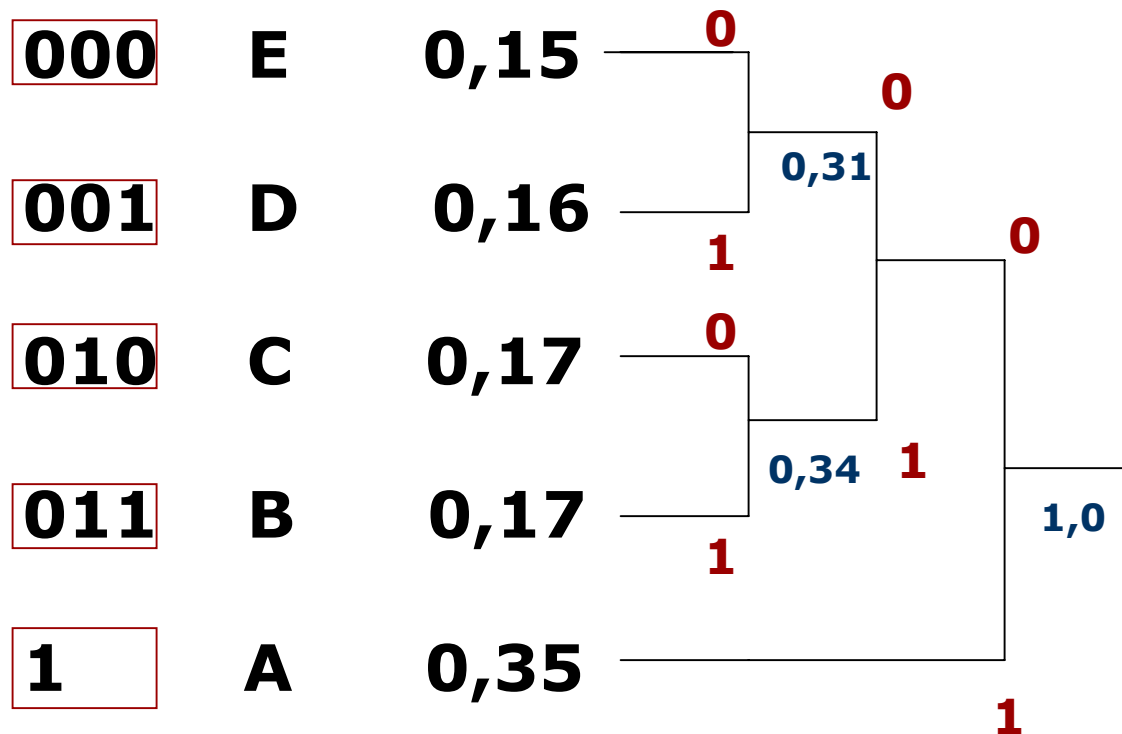
D. A. Huffman

A Method for the Construction of Minimum Redundancy Codes

Institute of Radio Engineers Proc. 40, 1098-1101 (1952)

Ad I.2. Kodowanie Huffmana

Przykład drzewa



Ad I.2 Algorytm Huffmana:

dla każdej litery utwórz drzewo złożone tylko z korzenia i ustaw te drzewa w malejącym porządku prawdopodobieństwa użycia danej litery;

while istnieją przynajmniej dwa drzewa t_1 i t_2 o najmniejszych p -stwach p_1 i p_2 utwórz drzewo zawierające w korzeniu p -stwo p_1+p_2 i mające t_1 i t_2 jako lewe i prawe poddrzewo;

przypisz **0** każdej lewej krawędzi drzewa i **1** każdej prawej krawędzi;

utwórz słowo kodu dla każdej litery przechodząc drzewo od korzenia do gałęzi zawierającej p -stwo stowarzyszone z tą literą i łącząc napotkane zera i jedynki;

Ad I.2. Kodowanie Huffmana

Przykładowe etapy przypisywania kodów

symbol	p-stwo	kod	1	2	3	4
a_2	0.4	1	0.4 1	0.4 1	0.4 1	0.6 0
a_6	0.3	00	0.3 00	0.3 00	0.3 00	0.4 1
a_1	0.1	011	0.1 011	0.2 010	0.3 01	
a_4	0.1	0100	0.1 0100	0.1 011		
a_3	0.06	01010	0.1 0101			
a_5	0.04	01011				

Uwagi:

- z techniką kodowania Huffmana związana też wcześniejsza metoda Shannona-Fano (*prawie optymalna*)

C. E. Shannon, *A Mathematical Theory of Communication*, *Bell System Technical Journal* 27, 379-423, 623-656 (1948)

- tzw. kanoniczne drzewo Huffmana (w formie kompaktowej) stosowane w większości archiwów (pkzip, lha, arj..)

Ad 1.2 Algorytm Shannona-Fano:

ustaw litery alfabetu źródłowego w ciąg **S** uporządkowany zgodnie z prawdopodobieństwem ich użycia;

if S zawiera dwie litery dołącz **0** do słowa kodu jednej litery i **1** do słowa kodu drugiej litery;

else if S zawiera więcej niż dwie litery podziel **S** na dwa podciągi **S1** i **S2** tak, by różnica między sumą prawdopodobieństw liter w podciągach była najmniejsza;

dołącz **0** do słów kodu dla liter w **S1** i **1** do słów kodu w **S2**;

Ad. I.3 Metody słownikowe:

- kodowanie ciągów symboli (pikseli) za pomocą odwołań do słownika zawierającego już takie ciągi
- im dłuższy ciąg uda się zastąpić indeksem do słownika tym większy stopień kompresji
- w metodach adaptacyjnych tworzony słownik zmienia się w trakcie kodowania obrazu

Abraham Lempel i Jakob Ziv and → LZ77, LZ78

+ Terry Welch →LZW84 (gif zagrożony patentem'97 ...-png)

Ad. I.3 Algorytm kompresji LZW:

wprowadź do słownika wszystkie symbole wejściowe ;

ciąg **c** = pierwsza litera wejściowa;

while kodowanie niezakończone wczytaj symbol **s**;

if c+s jest w słowniku **c=c+s**;

else zwróć słowo kodu odpowiadające ciągowi **c**;

włącz słowo **c+s** do słownika; **c=s**;

zwróć słowo kodu odpowiadające ciągowi **c**;

Ad. II. Metody stratne:

II.1 ZMIANA MODELU KOLORÓW

II.2 METODY FRAKTALNE

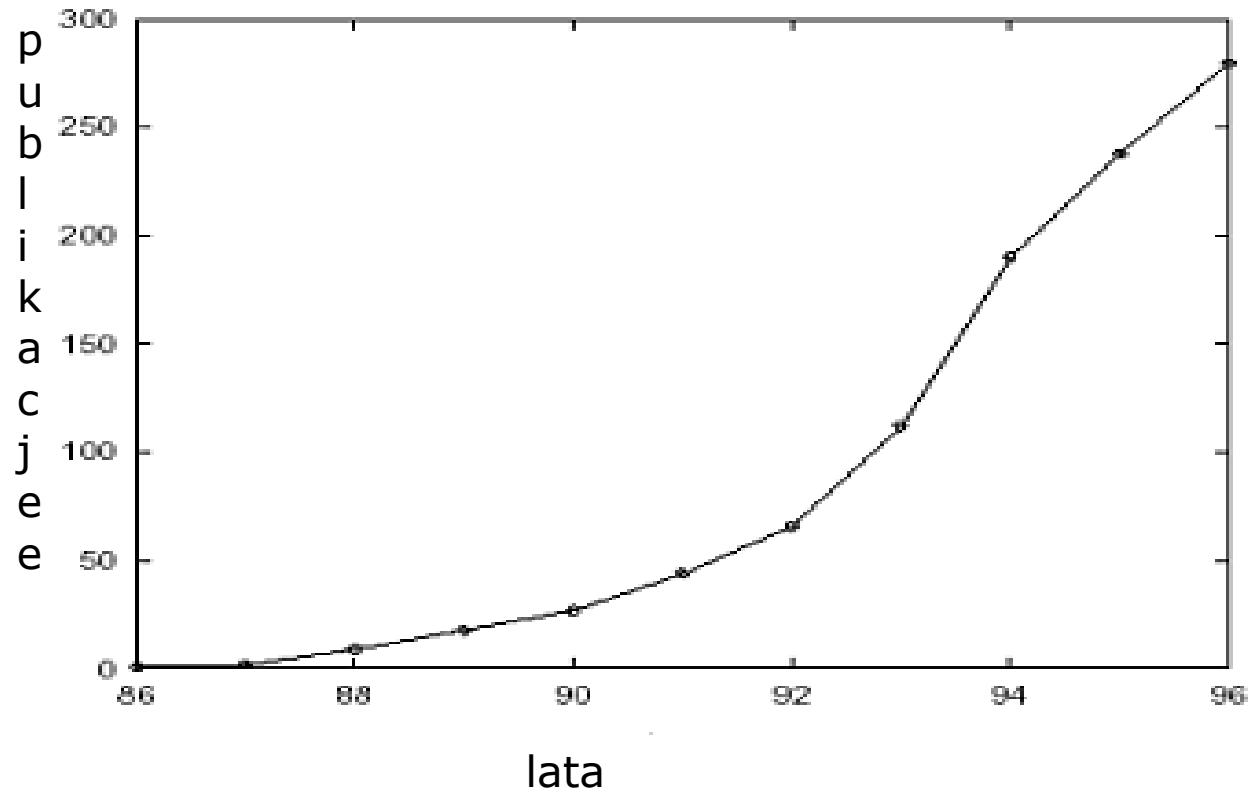
II.3 METODY TRANSFORMACYJNE

Ad. II.2 Metody fraktalne:

- Benoit Mandelbrot 1975, Fractals in Nature....
- John Hutchinson 1981, Iterated Function Theory.
- Michael Barnsley 1988 , Fractals Everywhere...

(Dowód dla *Collage theorem* - jakie warunki musi spełniać IFS, aby poprawnie reprezentować obraz... → Iterated Functions Company 1991)

Ad. II.2 Metody fraktalne:



Liczba publikowanych prac nt. kompresji fraktalnych

Uwagi:

- ✓ **Fraktalami w metodach fraktalnej kompresji są układy IFS** (*Iterated Function Systems*)
- ✓ **Kompresja (stratna!) jest bardzo wolna, dekompresja natomiast bardzo szybka**
- ✓ **Szczegóły technologii kompresji patentowane** (*owiane tajemnicą...*)

Kompresja fraktalna

Nadzieje związane z kompresją fraktalną związane głównie z następującymi obserwacjami:

1. Wiele naturalnych obiektów przyrody ma cechy samopodobieństwa...

(Benoit Mandelbrot 1975 *self similarity, selfaffinity*)

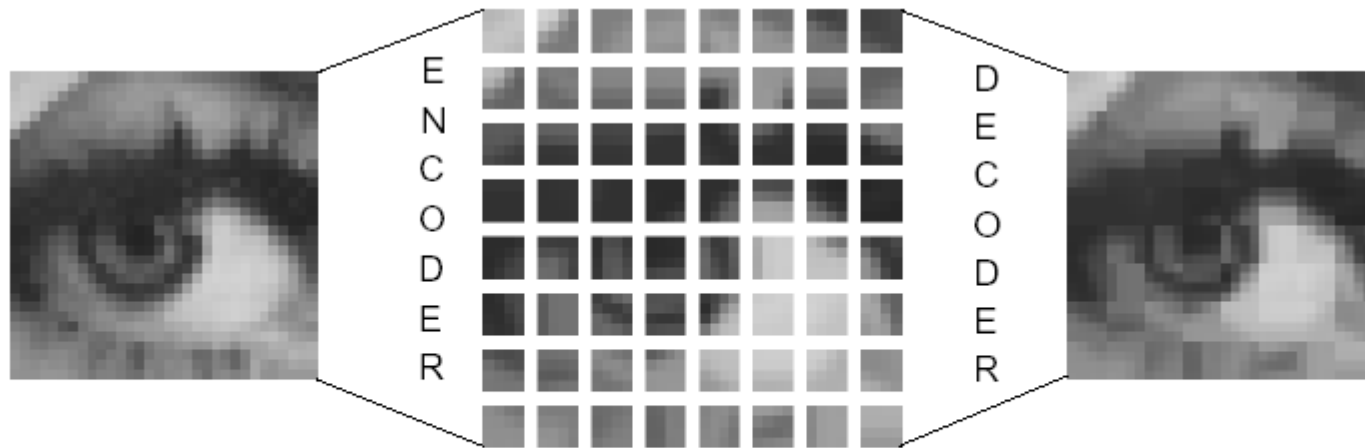
2. Można znaleźć układy IFS bardzo dobrze przybliżające obrazy świata przyrody (liść paproci u Barnsley'a – przybliżany przy pomocy zaledwie 4 transformacji...)

Kompresja fraktalna

Szukanie odpowiednich, dobrych IFS dla danego obrazu wymaga następujących procedur:

1. Podział obrazu na odpowiednie bloki/regiony
2. Wybór odpowiednich transformacji /przekształceń afinicznych

Kompresja fraktalna



Kompresja fraktalna

Próby automatyzacji pewnych procedur
-bez powodzenia!

Wg Michaela Barnsley'a (1988)

"Complex color images require about 100 hours each to encode and 30 minutes to decode on the Masscomp [dual processor workstation]. That's 100 hours with a _person_ guiding the process..... "

**Ale programy kompresji fraktalnych z Windows DLL
można kupić(!!!)**

Kompresja fraktalna

Próby rozwiązania problemu odwrotnego:

tzn. dla danego obrazu

znaleźć optymalne transformacje

(tzw. transformacje fraktalne)

podejmowane w wielu laboratoriach

- od stosowania algorytmów genetycznych

po ...algorytm GSA...(!)

...problem pozostaje nierozwiązany!

CO DALEJ??.....

**Na dziś cała nadzieja(!)
w transformacjach falkowych
dla kompresji obrazów...**

(np. JPEG 2000)

***Generalnie, wciąż nierozwiązany
problem jednolitych standardów
dla plików graficznych...***

Przykładowe formaty obrazów:

➤ bezstratne

bmp → *bitmap*

tiff → *tagged interchange file format 1992*

png → *portable network group 1997*

png → *portable network photographs 2002*

➤ stratne

gif → *graphics interchange format 1987*

jpeg → *joint photographic expert group 1995*